

Експериментално изследване на силовите деформации на разстъргващ инструмент, породени от радиалната сила

Светлана Колева, Милко Енчев

Experimental Study of the Force Deformations of a Reborning Tool, Caused by the Radial Force:
The cutting forces provoke volume and contact deformations, and as a result the tip of the cutting tool in the direction of dimensional machining shifts from its nominal position. The paper present studies related to the experimental determining of contact and volume deformations of reborning tools. Established is their share of the total deformation of the cutting tool.

Key words: Tool deflection, cutting force, stability

ВЪВЕДЕНИЕ

Проблемът със стабилността при струговото обработване преди всичко се свързва с разстъргващите инструменти. Този метод на обработване е универсален, осигурява точността в разположението на повърхнините, борещангите са по-евтини от размерните инструменти, един инструмент се използва за обработване на различни по диаметър повърхнини, при износване се подменя само режещата пластина и др. С разстъргващи инструменти със сменяеми режещи пластини могат да се обработят отвори с минимален размер Ф7мм, а с монолитни твърдосплавни – до Ф0.3мм [3, 4, 5]. Дължината на разстъргваните отвори се ограничава от стабилността на инструмента и от евакуацията на стружките.

По време на рязане разстъргващите инструменти се разглеждат като запънати греди, натоварени в свободния си край със силите на рязане. В редица литературни източници силовите деформациите на инструмента като фактор, влияещ на точността, се разглеждат само като резултат на обемните деформации от радиалната сила на рязане F_p [3, 4]. Но при работа в граничните условия, върху формирането на деформациите влияние оказват контактната стабилност в установъчните елементи и останалите сили на рязане.

Общата деформация (преместване) на върха на инструмента по направление на размерообразуването представлява сума от обемни y_o и контактни y_k деформации:

$$y = y_o + y_k \quad (1)$$

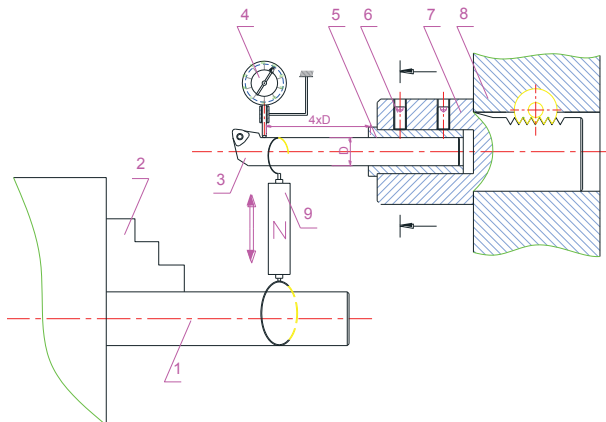
ИЗЛОЖЕНИЕ

В [1] са изведени зависимости за определяне на дела на радиалната и осовата сили в сумарната деформация на инструмента, изразени чрез отношението

$$\frac{t}{s} = \frac{b(q+ap)}{(1+a)} \quad (2)$$

В този израз с $b = \frac{F_f}{F_p}$ е зададено отношението между осовата и радиалната сили. От теоретичните изследвания при $k = \frac{L}{d} = 3 \div 6$ са определени следните стойности за отношението на податливости от осовата и радиалната сили съответно: за обемните – $q = \frac{w_{F_f,0}}{w_{F_p,0}} = 0,45 \div 0,13$ и за контактните – $p = \frac{w_{F_{f,k}}}{w_{F_{p,k}}} = 0,3 \div 0,1$.

За намиране големината на параметъра $a = \frac{w_{F_{p,k}}}{w_{F_{p,0}}}$, представляващ съотношението на контактните и обемните податливости от радиалната сила, са необходими допълнителни изследвания тъй като няма аналитични зависимости за изчисляване на контактните деформации. Поради това техните стойности трябва да

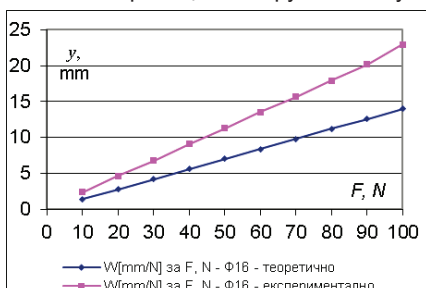


Фиг.1 Опитна установка

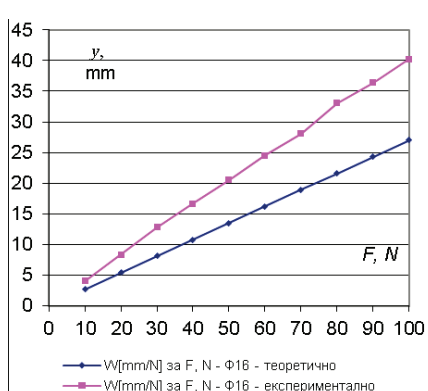
се определят експериментално, в резултат на което ще бъде възможно намирането на отношението $\frac{t}{s}$.

Проведени са експериментални изследвания за определяне на действителните стойности на деформациите на разстъргващ инструмент, предизвикани от радиалната сила F_p . Инструментът с излет равен и по-голям от приетия от гледна точка стабилност по време на обработване, т.е. при $k = 4$ и $k = 5$. Изследванията са извършени върху струг с ЦПУ СЕ063 при използване на опитната установка, показана на фиг.1.

Разстъргващия инструмент 3 е установлен в централния ножодържач на



Фиг.2 Теоретична и експериментална деформации на инструмент $\Phi 16$ при

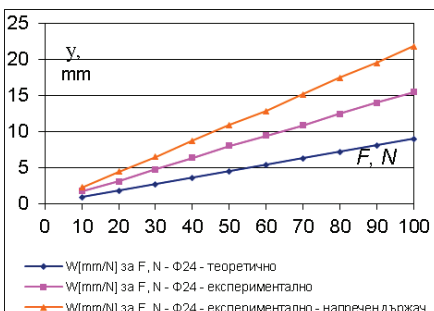


Фиг.3 Теоретична и експериментална деформации на инструмент $\Phi 16$ при $k=5$

револверната глава 8 посредством две втулки. Втулката 5 е изработена еластична (прорязана) и след като в нея се установи инструмента, тя се закрепва в инструменталния държач 7 посредством винтовете 6. В патронника 2 се закрепва лоста 1. Натоварването на разстъргващия инструмент става с помощта на електронната везна 9, двета края на която са захванати съответно към лоста и инструмента. Силата е по направление на

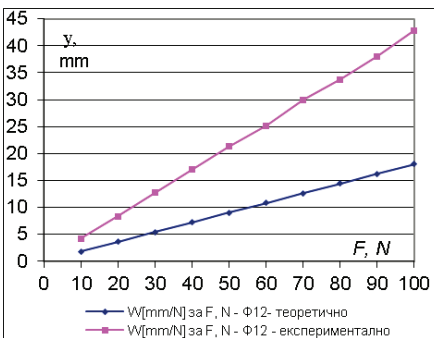
пасивната сила на рязане F_r , която действа по направление на размерообразуване. Приложената на инструмента сила се отчита по калибираната предварително везна, а деформацията на щангата – по неподвижно установения към кор-пуса на машината микрометричен часовник 4. При това си установяване инструментът се разглежда като запъната греда. Натоварването му и отчитането на деформацията се извършват на разстояние 4D от мястото на запъване, т.е. $k = 4$. Проведени са експерименти с натоварване от 10 до 100N със стъпка 10N с няколко повторения. Резултатите на измерените деформации са осреднени и са представени на фиг.2 във функция на силата, с която е натоварен инструмента. На същата графика е представена и теоретичната зависимост за деформациите при същите условия. Същия експеримент е проведен и при $L/D=5$ или на разстояние 5D от мястото на запъване ($k = 5$). Резултатите са представени на фиг.3.

С цел изключение влиянието на междинната еластична втулка е проведен експеримент, при който инструментът със сечение Ф24 и излет $L/D=4$ ($k = 4$) е установлен направо в инструменталния държач на СЕ063. Измерени са деформациите и когато разстъргващия инструмент е установлен в напречен ножодържач в револверната глава, т.е. без преходни втулки или опорни пластини. Схемата на натоварване и отчитане на деформациите е същата. Резултатите от измерените при двете схеми на установяване и теоретично определените деформации са представени на фиг.4:



Фиг.4 Теоретична и експериментална деформации на инструмент Ф24 при $k=4$

във втулка в централна позиция на револверната глава. Резултатите са представени на фиг.5.



Фиг.5 Теоретична и експериментална деформации на инструмент Ф12 при $k=4$

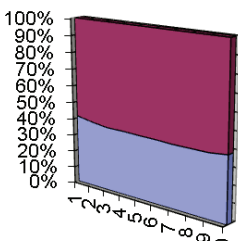
те обемни еластични деформации и реално измерените.

На следващите графики (от фиг.6,а до фиг.6,д) са представени процентните дялове на силовите и контактните деформации в общата измерена при съответна действаща сила.

От графиките се вижда, че експериментално отчетената деформация се различава от теоретично определената. При втората не се включват контактните деформации, възникващи в зоната на контакт на инструмента и ножодържача, нито износванието, нараняванията и подбитостите по базовите им повърхнини, съществуващи в реална технологична. Тези неочетени деформации в теоретичните изчисления са контактните деформации и действителната им стойност може да се намери като разлика между теоретично определени-

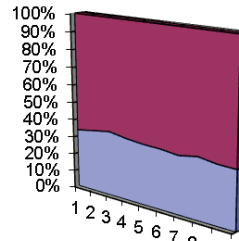
В резултат на извършените експериментални изследвания за $k = 4$ за диаметър на разстъргващия инструмент Ф24 за съотношението между контактните и обемните деформации [1] се получава:

$$\alpha = 0.7$$



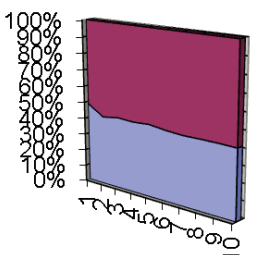
■ Обемни деформации Ф16, % от общата експ.
■ Контактни деформации Ф16, % от общата експ.

a



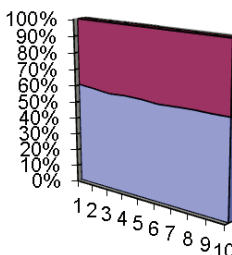
■ Обемни деформации Ф16, % от общата експ. L/D=5
■ Контактни деформации Ф16, % от общата експ. L/D=5

b



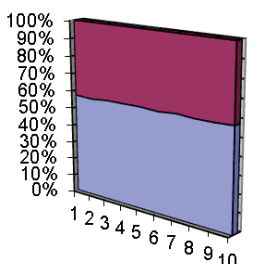
■ Обемни деформации Ф24, % от общата експ.
■ Контактни деформации Ф24, % от общата експ.

c



■ Обемни деформации Ф24 - напречен държач, % от общата експ.
■ Контактни деформации Ф24 - напречен държач, % от общата експ.

d



■ Обемни деформации Ф12, % от общата експ.
■ Контактни деформации Ф12, % от общата експ.

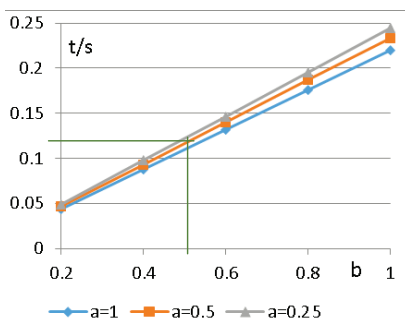
e

Фиг.6 Процентни дялове на обемните и контактните деформации:

- а) – за държач Ф16, k=4
- б) – за държач Ф16, k=5
- в) – за държач Ф24, k=4,
- г) – за държач Ф24, k=4,
напречен ножодържач
- д) – за държач Ф12, k=4

С определените стойностите на α , p , и q се намира отношението t/s , представляващо отношението между дела на осовата и дела на радиалната сила в сумарната деформация на инструмента [1]. Построена е графиката $\frac{t}{s} = f(b)$, представена на фиг.7.

На етапа чисто обработване, предвид препоръчителните дълбочинна рязане [3, 4, 5], на практика рязането се извършва с радиуса r_ε при върха на режещата пластина, а още по-често с част от него. От тази гледна точка големите стойности на b няма как да се получат.



Фиг.7 Графика на функцията $\frac{t}{s} = f(b)$

податливостите при едно и също b е незначително.

ЗАКЛЮЧЕНИЕ

На база направените лабораторни изследвания може да се обобщи:

5. Контактните деформации, установени при реално (производствено) състояние на установъчните бази на инструменталната екипировка имат 35% до 60% дял в резултантните деформации;

6. Натоварването на инструмент, установлен в напречния ножодържач, е съпроводено с по-големи контактни деформации спрямо инструмент, установлен в централен (цилиндричен) държач, дължащо се на различната схема на базиране на инструмента;

7. Необходимо е извършването на допълнителни експериментални изследвания за определяне големината и разсейването на радиалната сила на рязане при чисто струговане чрез измерване на протичащите по време на рязане деформации на инструмента;

8. Резултатите за деформациите на разстъргващ инструмент могат да се пренесат и за случай, когато се обработка нестабилна заготовка.

ЛИТЕРАТУРА

[1] Енчев М., Колева С., Теоретично изследване на силовите деформации на разстъргващ инструмент, Научни трудове на РУ, 2014г.;

[2] Фадюшин И.Л. и др., Инструмент для станков с ЧПУ, многоцелевые установки и ГПС, Москва, Машиностроение, 1990;

[3] ISCAR catalogue – turning tools;

[4] SANDVIK technical guide;

[5] WALTER catalogue.

За контакти:

Гл.ас. Светлана Колева, катедра ТММРМ, Русенски университет “Ангел Кънчев”,
тел.: 082-888 653, e-mail: svetla@uni-ruse.bg

Доц. д-р Милко Енчев, катедра ТММРМ, Русенски университет “Ангел Кънчев”,
тел.: 082-888 653, e-mail: menchev@uni-ruse.bg

Докладът е рецензиран.